



LLUVIAS



CENEPRED

Centro Nacional de Estimación, Prevención y
Reducción del Riesgo de Desastres

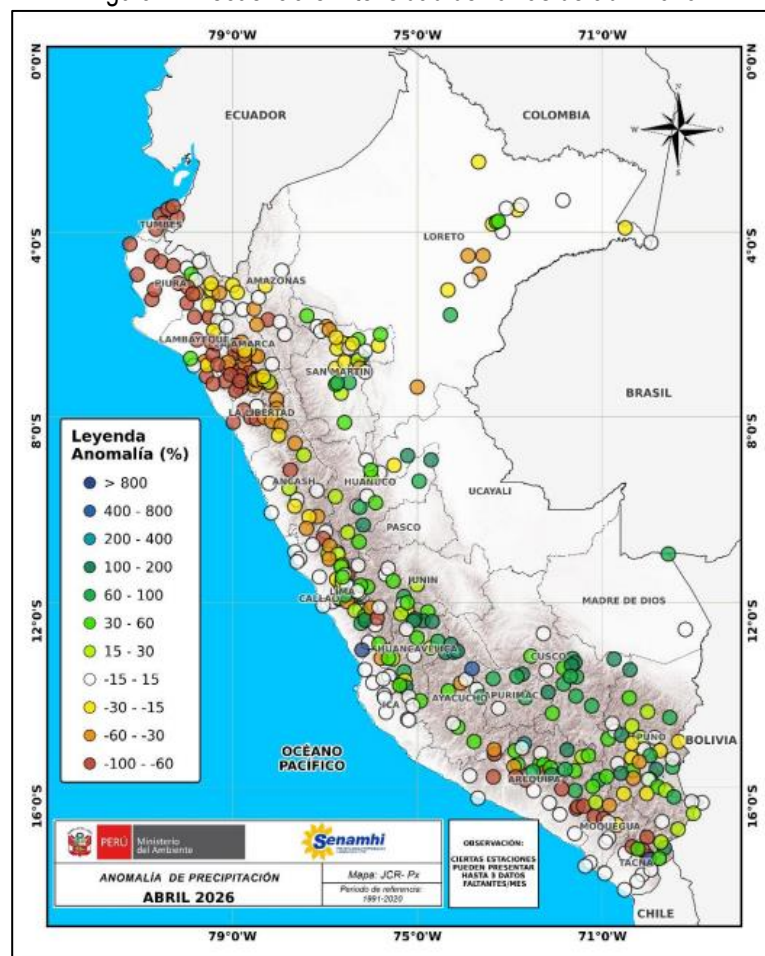
**ESTUDIO DE ESCENARIO DE RIESGO
ANTE EL PRONÓSTICO DE
LLUVIA EN LA SELVA**

DEL 08 AL 09 JUNIO DE 2026

I. COMPORTAMIENTO DE LAS PRECIPITACIONES A NIVEL NACIONAL

En abril de 2026, los acumulados de precipitación, evidenciaron deficiencias importantes en la costa y sierra norte, con valores entre -100 % y -60 %. También se observaron déficits en las partes altas de Áncash, algunos sectores de Lima, San Martín, Loreto y en las cuencas medias de Arequipa, Moquegua y Tacna, con anomalías principalmente entre -60 % y -30 %. En contraste, el flanco oriental de la sierra central (Huánuco, Pasco, Junín y Huancavelica) y sectores de la sierra sur (Apurímac, Cusco y Puno), presentaron excesos de precipitación, con anomalías entre 100 % y 200 %. Cabe destacar que se registró un récord histórico de precipitación diaria en Colcabamba, Huancavelica, con 71.8 mm/día el 10 de abril, valor superior a su normal mensual de 57.4 mm. Asimismo, se reportaron récords mensuales en otras estaciones, entre las que destacan Alto de Poclus, Piura, con 59.4 mm/día; Chaglla, Huánuco, con 35.5 mm/día; y Granja San Antonio, Apurímac, con 31.6 mm/día. En marzo 2026, se presentaron superávits de lluvias en la zona andina central (Huánuco, Huancavelica, Junín y Pasco) y sur (Apurímac, Arequipa, Puno y Cusco), además de la selva norte (Loreto y San Martín) y algunas regiones como Huánuco y Piura con anomalías superiores a 100%. En contraste, se presentaron anomalías negativas de lluvias, principalmente en la franja costera (Lambayeque, Lima, Ica y Arequipa), zona andina occidental central y sur (Ancash, Arequipa, Tacna y Moquegua

Figura 1: Frecuencia e Intensidad de lluvias de abril 2026.



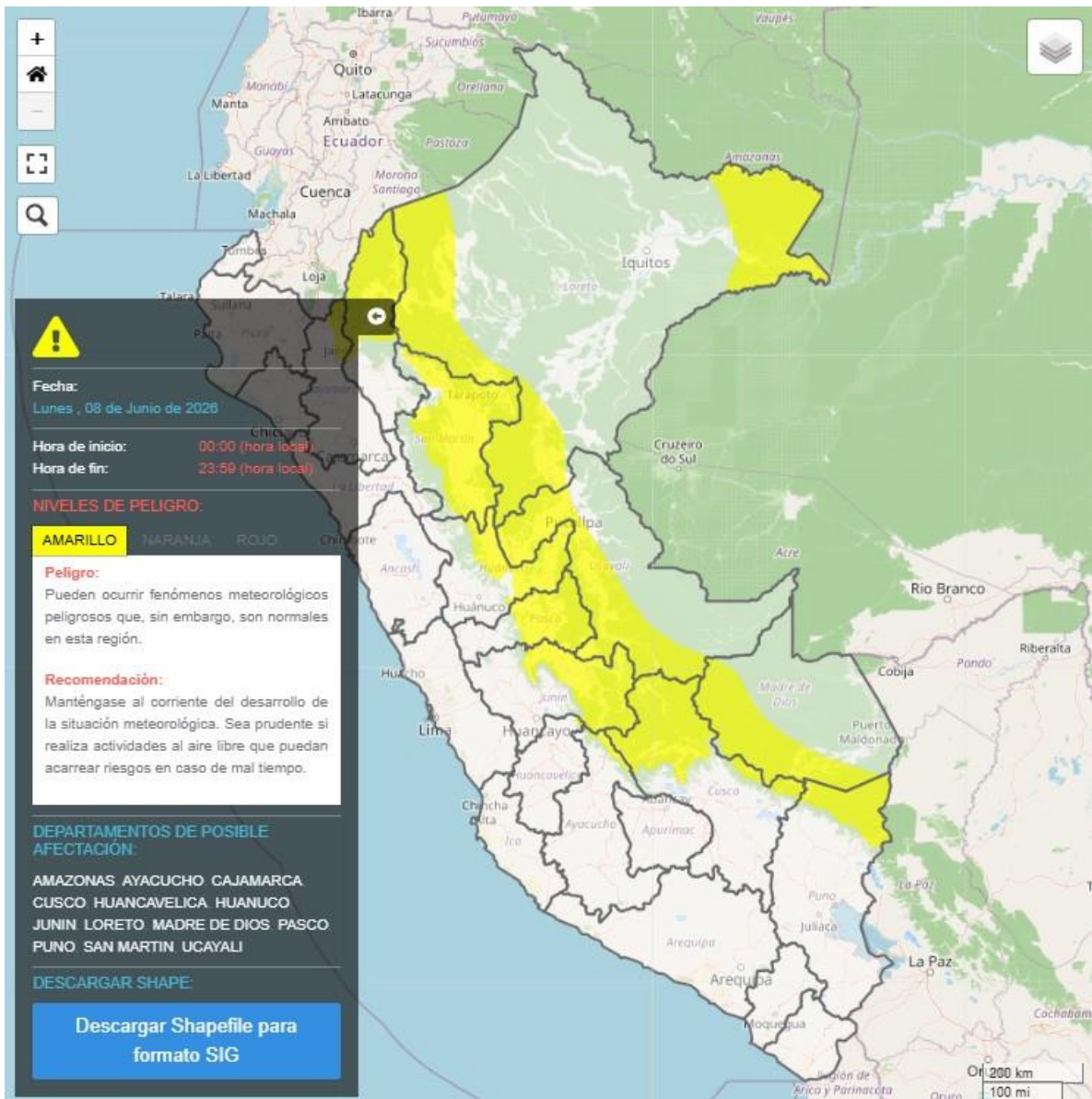
Fuente: SENAMHI (Abril, 2026).

II. PERSPECTIVAS

El SENAMHI informa que, desde el lunes 8 al martes 9 de junio se presentarán lluvias, de ligera a moderada intensidad en la selva. Estas lluvias estarán acompañadas de descargas eléctricas y ráfagas de viento con velocidades cercanas a los 45 km/h.

El lunes 8 de junio, se prevén acumulados de lluvia alrededor de 30 mm/día en la selva norte, próximos a 35 mm/día en la selva centro y valores cercanos a los 50 mm/día en la selva sur.

Figura 2. Pronóstico de lluvia en la selva del 08 de junio del 2026



Fuente: SENAMHI Aviso Meteorológico N°222

El martes 9 de junio, se prevén acumulados de lluvia alrededor de 35 mm/día en la selva norte y centro, y valores cercanos a los 50 mm/día en la selva sur.

Figura 3. Pronóstico de lluvia en la selva del 09 de junio del 2026



Fuente: SENAMHI Aviso Meteorológico N° 222

Para efectos de análisis se ha unido el ámbito de los diferentes días que implica el aviso, obteniendo un solo ámbito de exposición por los días de duración del aviso.

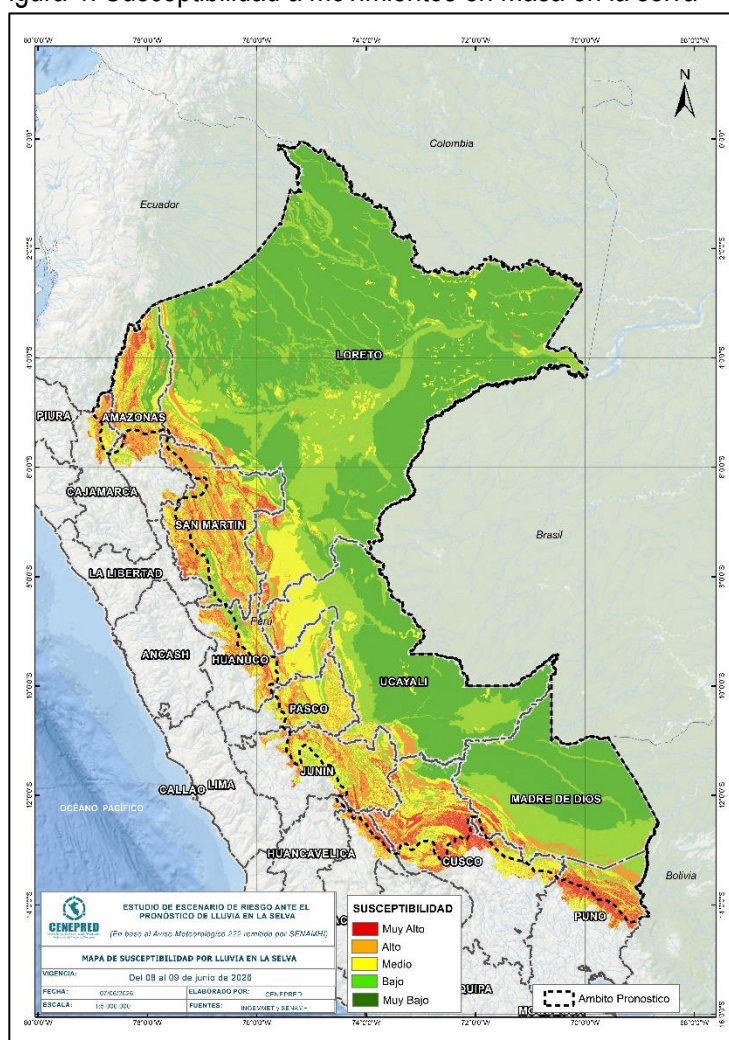
III. ESCENARIO DE RIESGO POR MOVIMIENTOS EN MASA

1 ANÁLISIS DE SUSCEPTIBILIDAD POR MOVIMIENTOS EN MASA

La probabilidad de la ocurrencia de lluvias de fuerte intensidad durante estos días, desencadenarían la posible presencia de deslizamientos, flujos de detritos (huaycos) u otro tipo de movimientos en masa, que traería consigo situaciones de riesgo. No obstante, no se descarta la presencia de estas en las zonas donde se prevé condiciones normales o de déficit de lluvias.

Para la identificación de los ámbitos con mayor propensión a estos eventos se ha tomado como base el Mapa de Susceptibilidad a Movimientos en Masa¹ (INGEMMET).

Figura 4. Susceptibilidad a movimientos en masa en la selva



Fuente: CENEPRED, elaborado con información del INGEMMET y SENAMHI

¹ Cabe destacar que los mapas de susceptibilidad por movimientos en masa, si bien identifican áreas donde se pueden generar potencialmente tales eventos, en ellos no figura la totalidad de zonas a ser afectadas, ni predicen cuando ocurrirán los procesos analizados (Ayala-Carcedo y Olcinas 2002).

2 ANÁLISIS DE EXPOSICIÓN SOCIOECONÓMICA

En el análisis de exposición socioeconómica, se consideró como unidad mínima de análisis el ámbito distrital. Las variables utilizadas son incidencia de pobreza, tasa de analfabetismo y tasa de desnutrición crónica infantil.

El valor de exposición se obtuvo mediante el análisis con sistemas de información geográfica (SIG), con la finalidad de poder representarlo cartográficamente.

Se estimó el valor de importancia (ponderación) de cada uno de los parámetros mediante el Proceso de Análisis Jerárquico (método de Saaty). Posteriormente, se determinó para cada parámetro los respectivos descriptores, representados por sus quintiles, estimándose también para estos una ponderación mediante el mismo método.

Este procedimiento se muestra en la Tabla 1, dando como resultado el valor de exposición para cada distrito.

Tabla 1. Matriz de ponderación utilizada para la evaluación de los niveles de exposición.

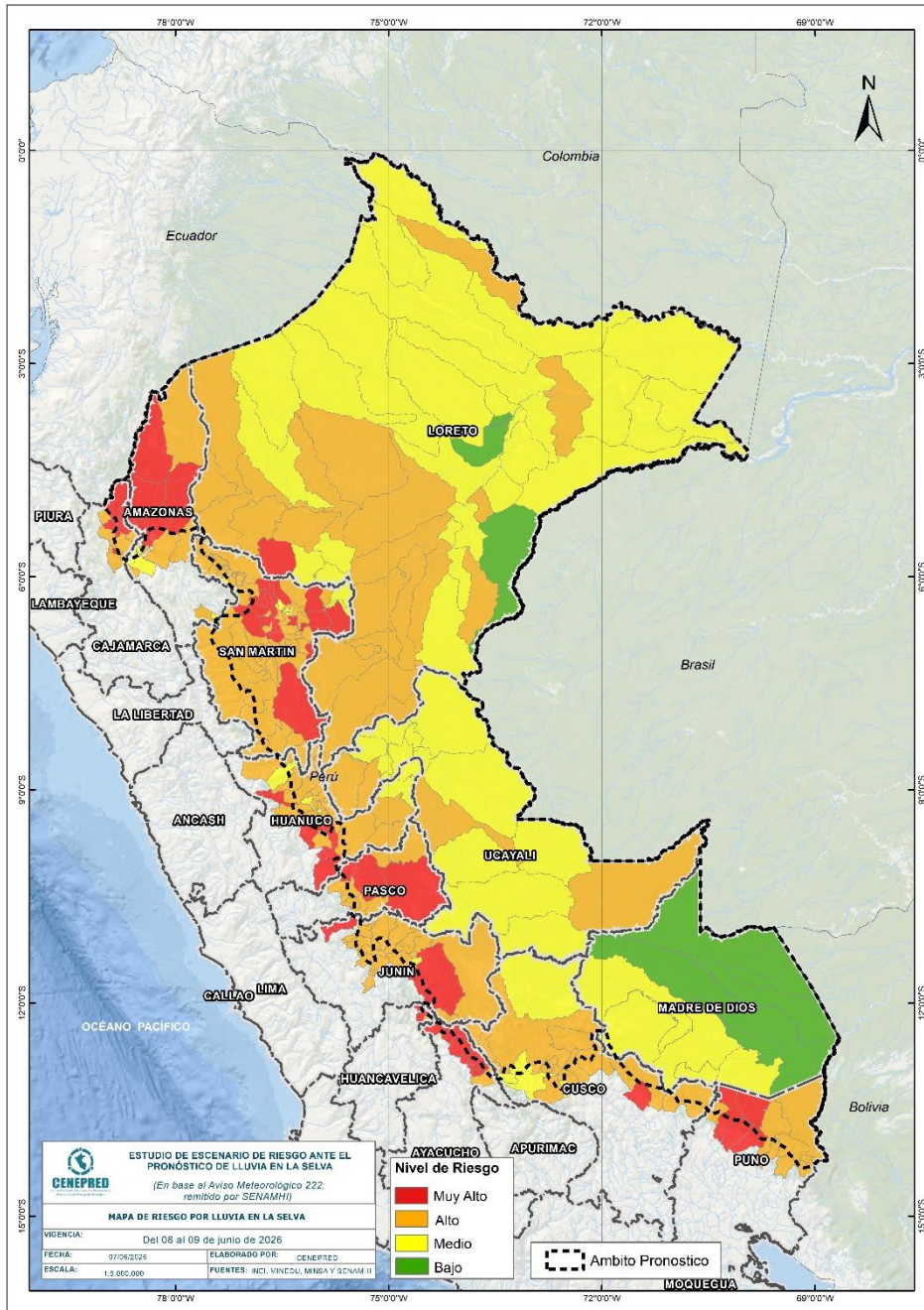
Descriptor	Parámetros de evaluación									Valor de exposición	Rango	Nivel de exposición
	Incidencia de pobreza	Valor	Peso	Tasa de Desnutrición Crónica	Valor	Peso	Tasa de Analfabetismo	Valor	Peso			
D5	Mayor a 63.8%	0.459	0.608	34.2% a 61.7%	0.416	0.272	20.8% a 45.5%	0.432	0.120	0.444	0.262 < R =< 0.444	Muy Alto
D4	50.7% a 63.7%	0.259	0.608	26.0% a 34.1%	0.262	0.272	14.1% a 20.7%	0.283	0.120	0.262	0.153 < R =< 0.262	Alto
D3	36.3% a 50.6%	0.150	0.608	19% a 25.9%	0.161	0.272	9.6% a 14.0%	0.152	0.120	0.153	0.089 < R =< 0.153	Medio
D2	21.8% a 36.2%	0.085	0.608	9.1% a 18.9%	0.099	0.272	5.4% a 9.5%	0.086	0.120	0.089	0.051 < R =< 0.089	Bajo
D1	Menor a 21.8%	0.047	0.608	Menor a 9.1%	0.062	0.272	Menor a 5.4%	0.048	0.120	0.051		

Fuente: CENEPRED, elaborado con información del INEI y el MINSA.

3. ESCENARIO PROBABLE DE RIESGO POR MOVIMIENTOS EN MASA

Una vez identificado los niveles de susceptibilidad a movimientos en masa y los niveles de exposición de la población, a nivel distrital, se procede a la conjunción de ambos factores para el cálculo de la probabilidad del riesgo (Tabla 2).

Figura 5. Escenario de riesgo por movimientos en masa según el pronóstico de lluvia en la selva



Fuente: CENEPRED

Finalmente, se presentan los resultados del escenario de riesgo por movimientos en masa en la Tabla 2.

Tabla 2. Elementos expuestos por departamentos según su nivel de riesgo.

Nivel de Riesgo		Muy Alto					Alto				
		Elementos expuestos									
DEPARTAMENTOS		Cantidad Distritos	Población	Viviendas	Establec. Salud	Instituc. Educativas	Cantidad Distritos	Población	Viviendas	Establec. Salud	Instituc. Educativas
1	AMAZONAS	4	63.444	15.633	108	678	7	60.230	16.683	88	393
2	AYACUCHO	8	60.924	17.577	47	365	1	7.969	2.266	10	85
3	CAJAMARCA	4	53.925	15.198	36	316	6	181.466	48.008	177	629
4	CUSCO	1	11.871	3.343	3	67	13	139.569	39.714	109	618
5	HUANCAVELICA	2	6.228	1.890	8	55	1	1.300	366	1	10
6	HUANUCO	4	42.263	11.706	29	208	16	125.884	35.329	88	592
7	JUNIN	2	58.523	15.330	60	524	14	264.917	70.585	175	1.303
8	LORETO	1	13.707	2.921	18	157	21	151.384	32.332	146	1.275
9	PASCO	3	28.890	7.566	61	360	5	58.580	15.649	65	283
10	PUNO	3	23.258	9.905	16	122	8	46.556	17.396	28	285
11	SAN MARTIN	16	129.855	32.625	84	555	53	532.278	139.783	364	1.526
12	UCAYALI	0	0	0	0	0	4	52.842	13.040	53	309
TOTAL GENERAL		48	492.888	133.694	470	3.407	149	1.622.975	431.151	1.304	7.308

Fuente: CENEPRED, elaborado con la información del INEI*, MINSA** y MINEDU***

*INEI: Cálculo de población y vivienda según Censos Nacionales 2017: XII de Población y VII de Vivienda

**MINSA: Base RENIPRESS, junio 2026.

***MINEDU: ESCALE, junio 2026.

IV. ESCENARIO DE RIESGO POR INUNDACIONES

1 ANÁLISIS DE SUSCEPTIBILIDAD POR INUNDACIONES

La probabilidad de la ocurrencia de lluvias de fuerte intensidad durante estos días, desencadenarían la posible presencia de inundaciones, que traería consigo situaciones de riesgo. No obstante, no se descarta la presencia de estas en las zonas donde se prevé condiciones normales o de déficit de lluvias.

Para la identificación de los ámbitos con mayor propensión a estos eventos se consolidó los mapas de susceptibilidad a inundaciones a nivel regional, elaborado por el INGEMMET, los cuales consideran como factores condicionantes: la geomorfología y la pendiente del terreno.

Los ámbitos de susceptibilidad muy alta y alta se caracterizan principalmente por presentar llanuras aluviales, planicies, altiplanos, terrazas aluviales, entre otros.

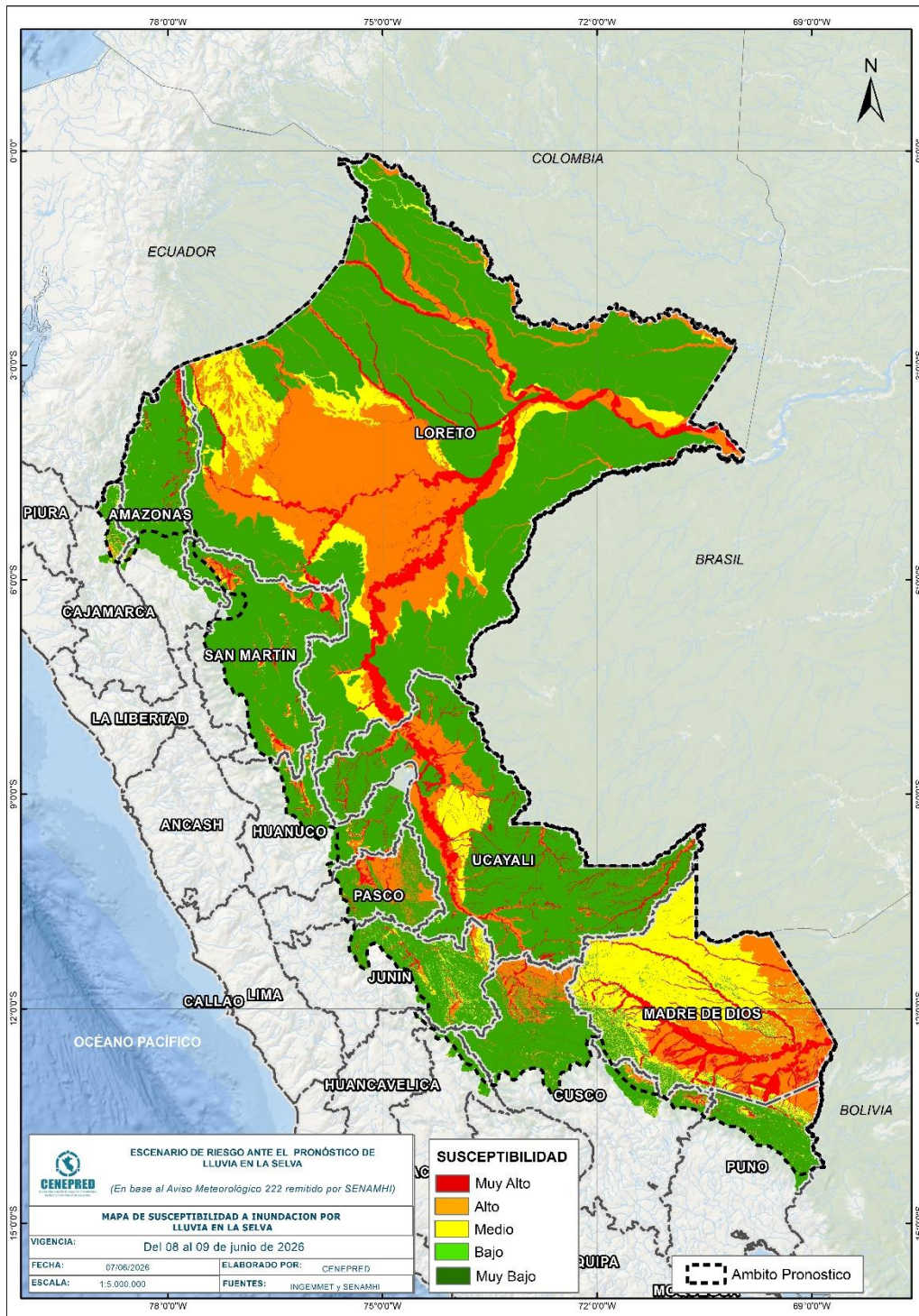
2 ESCENARIO PROBABLE DE RIESGO POR INUNDACIONES

Una vez identificado los niveles de susceptibilidad a inundación en el ámbito de las cuencas afectadas en la Figura 6 se procede a realizar el análisis de los niveles de exposición de la población, vivienda, establecimientos de salud e instituciones educativas a nivel de centros poblados.

De acuerdo al análisis de exposición y considerando el pronóstico se generó la Tabla 3, encontrándose que los departamentos con nivel de riesgo **Muy Alto** comprenden una población expuesta de 656459 habitantes; 195829 viviendas; 486 establecimiento de salud y 2946 instituciones educativas.

Los departamentos con nivel de riesgo **Alto** comprenden una población expuesta de 790654 habitantes; 251821 viviendas; 660 establecimientos de salud y 3101 instituciones educativas.

Figura 6. Escenario de riesgo por inundaciones en el ámbito del pronóstico de lluvia en la selva del 08 al 09 junio del 2026



Fuente: CENEPRED

Tabla 3. Elementos expuestos por departamentos según su nivel de riesgo por inundación.

Nivel de Riesgo		Muy Alto					Alto				
		Elementos expuestos									
DEPARTAMENTOS		Cantidad Distritos	Población	Viviendas	Establec. Salud	Instituc. Educativas	Cantidad Distritos	Población	Viviendas	Establec. Salud	Instituc. Educativas
1	AMAZONAS	4	63.444	15.633	108	678	7	60.230	16.683	88	393
2	AYACUCHO	8	60.924	17.577	47	365	1	7.969	2.266	10	85
3	CAJAMARCA	4	53.925	15.198	36	316	6	181.466	48.008	177	629
4	CUSCO	1	11.871	3.343	3	67	13	139.569	39.714	109	618
5	HUANCAVELICA	2	6.228	1.890	8	55	1	1.300	366	1	10
6	HUANUCO	4	42.263	11.706	29	208	16	125.884	35.329	88	592
7	JUNIN	2	58.523	15.330	60	524	14	264.917	70.585	175	1.303
8	LORETO	1	13.707	2.921	18	157	21	151.384	32.332	146	1.275
9	MADRE DE DIOS	0	0	0	0	0	0	0	0	0	0
10	PASCO	3	28.890	7.566	61	360	5	58.580	15.649	65	283
11	PUNO	3	23.258	9.905	16	122	8	46.556	17.396	28	285
12	SAN MARTIN	16	129.855	32.625	84	555	53	532.278	139.783	364	1.526
13	UCAYALI	0	0	0	0	0	4	52.842	13.040	53	309
TOTAL GENERAL		48	492.888	133.694	470	3.407	149	1.622.975	431.151	1.304	7.308

Fuente: CENEPRED, elaborado con la información del INEI*, MINSA** y MINEDU***

*INEI: Cálculo de población y vivienda según Censos Nacionales 2017: XII de Población y VII de Vivienda

**MINSA: Base RENIPRESS, junio 026.

***MINEDU: ESCALE, junio 2026.

San Isidro, 07 de junio de 2025

El CENEPRED actualizará esta información de acuerdo a los avisos meteorológicos remitidos por del SENAMHI. El resultado de esta información se encuentra disponible en el Sistema de Información para la Gestión del Riesgo de Desastres - SIGRID, y a través de la página web del CENEPRED <https://cenepred.gob.pe/web/escenario-riesgos/> para su descarga a fin de dar a conocer de manera detallada los parámetros utilizados.